

Fig. 5. Variation of sulphur content in various molten iron alloys.

加、圧力低下によるガス分子の平均自由行程の増加によって蒸発速度が増加することを示すものであろう。

Fig. 5 には S の蒸発速度におよぼす Cr, Si, C, O の影響を示した。図から Cr は蒸発速度を減じ、C, Si および O は蒸発速度を増加することが解る。Cr および O は溶鉄中の S の活量を減ずるので Cr が S の蒸発速度を低下せしむることは (2) 式から解る。しかし O が蒸発速度を増すのは、SO ガスの生成によるものと推定される。C は S の活量を増加し、C: 1.7% のときに $f_S^C = 2.4^{(3)}$ となり、C: 1.7% を含む溶鉄の S の蒸発速度恒数: K が、Fe-S のそれの 2 倍になることから、C が S の蒸発速度を増すのは S の活量を増すためと思われる。

一方 Si: 1% の溶鉄中の $f_S^{Si} = 1.2^{(3)}$ であり、Si を含むときの S の蒸発速度恒数: K が Si を含まないときの 4.5 倍になることを説明することはできない。したがつて Si が S の蒸発速度を増加せしむるのは高温で十分高い蒸気圧を有する SiS または SiS₂ の生成によるものと推定される。

文 献

- 1) 郡司、片瀬、青木: 鉄と鋼, 50 (1964), p. 1809
- 2) Thermochemistry for Steelmaking
- 3) Electric Furnace Steelmaking
- 4) W. A. FISCHER: Arch. Eisenhüttenw., 31 (1960), p. 1
- 5) H. SCHENCK & H. H. DOMALSKI: Arch. Eisenhüttenw., 32 (1961), p. 753
- 6) M. OLETTE: International Symposium on Physical Chemistry of Process Metallurgy (1954)
- 7) R. G. WARD: J. Iron & Steel Inst. (U. K.), 201 (1963), p. 11
- 8) V. D. SEHGAL and A. MITCHELL: J. Iron &

- Steel Inst. (U. K.), 202 (1964), p. 216
- 9) E. S. MACHLIN: Trans. Met. Soc., Amer. Inst. Min., Met. & Pet. Eng., 218 (1960), p. 314
- 10) 佐野、伊藤: 学振 19 委 No. 7268 (昭和 38 年)
- 11) 大野: 金属学会誌, 23 (1959), p. 489, 493
- 12) J. P. MORRIS and G. R. ZELLARS: Trans. Met. Soc., Amer. Inst. Min., Met. & Pet. Eng., (1956), p. 1090

(60) 溶鉄中のシリコン脱酸におよぼすバナジウムの影響

八幡製鉄、東京研究所 工博瀬川清
理博常富栄一・理博中村泰・○千野博孝
Effect of Vanadium on the Deoxidation with Silicon in Liquid Iron.

Dr. Kiyoshi SEGAWA, Dr. Eiichi TSUNETOMI,
Dr. Yasushi NAKAMURA and Hirotaka CHINO.

1. 緒 言

各種の添加元素と鋼中の酸素含有量との関係を明らかにしてゆく研究の一環として、先に溶鉄中のチタン濃度と酸素濃度との関係を求めたが¹⁾、今回は溶鉄中のシリコン脱酸におよぼすバナジウムの影響を調べた。すなわち本研究は、まずバナジウムが一次脱酸生成物にどのような影響をおよぼすかを検討し、ついで溶鉄中のシリコン量、バナジウム量と酸素量との関係を明らかにした。

2. 実験装置および方法

2.1 実験装置

真空管式高周波炉と水素-水蒸気調整装置およびガス精製装置を組み合わせ使用した¹⁾。使用したルツボは不透明石英管より作成したシリカルツボである。

2.2 実験方法

電解鉄を水素-アルゴンガス中で溶解、冷却した試料を約 180 g シリカルツボに入れて水素-アルゴンガス中で溶解する。溶鉄を所定温度にした後、シリコン(純度 99.9%)とバナジウム(純度 99.8%)を添加する。次に水素-水蒸気-アルゴンガスを導入し、表面に酸化物が始める水素-水蒸気圧比とした後ですぐに反応温度を所定温度より約 80°C 上昇させ、表面に酸化膜が生じない状態にする。その温度で 2 hr 保持した後、反応温度を最初の所定温度に戻しさるに 2 hr 保持する。ガス流量は水素は 150 cc~200 cc/min、アルゴンガスは 300 cc/min であった。測温は前報¹⁾と同じく熱電対を使用した。分析試料も前報¹⁾と同じく、石英管吸上げおよびアルゴンガス急冷の 2 通りの方法で行なった。

2.3 分析方法

シリコン分析は吸光光度法(<0.6% Si, 分析誤差 ±0.001%)と重量法(>0.6% Si, 分析誤差 ±0.01%)で行ない、バナジウム分析は吸光光度法(分析誤差 ±0.001%)で行なった。

酸素分析は不活性ガス溶融法(分析誤差 ±5 ppm)で行なった。

2.4 脱酸生成物の分析

Table 1. Deoxidation products.

Content of elements in liquid iron			Crucible	Deoxidation products which are on the surface of quenched ingot (Emisson spectrochemical analysis)	Oxides of I ₂ -MeOH isolation (%)						
[%Si]	[%V]	[%O]			Si \ddagger , V +	Si \ddagger , Fe \ddagger , Al \ddagger , V +	Si \ddagger , V -	SiO ₂	FeO	V ₂ O ₃	Al ₂ O ₃
0.070	1.00	0.027	Alumina	Si \ddagger , V +				0.015	0.003	<0.000	0.001
0.100	1.00	0.025	Alumina	Si \ddagger , Fe \ddagger , Al \ddagger , V +				0.022	0.004	<0.000	0.002
0.130	1.00	0.021	Silica	Si \ddagger , V -				0.032	0.003	<0.000	—
0.360	1.00	0.014	Silica	—				0.021	0.004	<0.000	—
0.90	1.10	0.0085	Silica	Si \ddagger , V -				0.016	0.003	<0.000	—

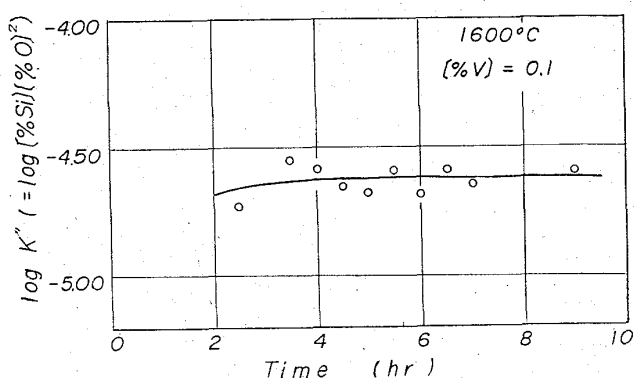
Emisson spectrochemical analysis — : Scarcely recognizable, + < \ddagger < \ddagger < \ddagger < \ddagger 

Fig. 1. Relation between log K' and time.

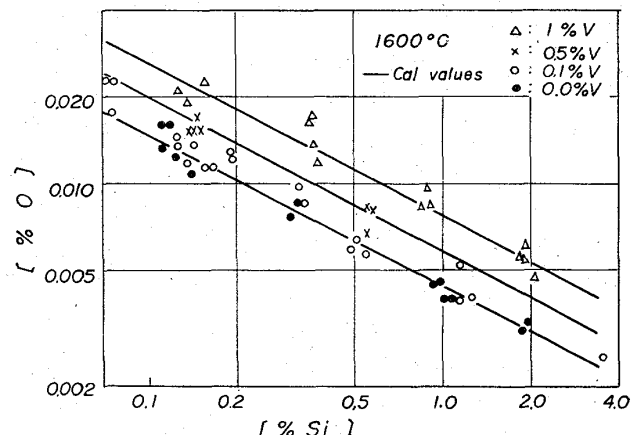


Fig. 2. Experimental results.

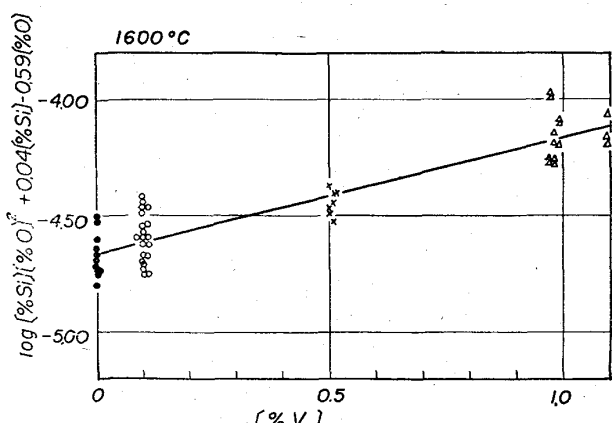


Fig. 3. Relation between log (%Si)(%O)^2 + 0.04[%Si] - 0.59[%O] and [%V].

前報¹⁾と同じく急冷鉄塊表面より抽出レプリカ法により試料を採取し、カーボン棒上にのせて発光分光分析により解析した。さらに同鉄塊中より介在物をヨウ素アルコール法で抽出し分析した。

3. 実験結果および考察

3.1 平衡到達時間

本実験においては水素-水蒸気と溶鉄との平衡は一応考慮せず、ルッボと平衡させることをねらつた。ガス相より酸素が溶解する速度は遅いために実験時間はかなり長いものとなる。前述の実験方法は、この欠点を除くための方法で、できるだけ短時間にルッボと溶鉄が平衡になるように工夫した。その結果は Fig. 1 に示した通りである。これからわかる通り、温度を上げて 2 hr 保持してから所定温度にし、その後 1 1/2 hr 半または 2 hr でほぼ平衡に達している。

3.2 脱酸生成物

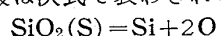
まず急冷鉄塊の表面に浮いていた一次脱酸生成物を抽出レプリカ法で採取し、発光分光分析でバナジウムが混入しているかどうかを調べた。次にヨウ素アルコール法で鉄塊中より分離した介在物も分析した。後者は厳密には一次脱酸生成物とはいえないが、一応参考になると考えられる。脱酸生成物の分析結果は Table 1 に示した。

これより、アルミナルツボを使用しても脱酸生成物中にはほとんどバナジウムは含まれないとみられる。したがつて溶鉄中のシリコン濃度が 0.07% 以上、バナジウムが 1.0% 以下の範囲では、一次脱酸生成物はシリカまたは少なくともシリカ飽和である。この結果より、本実験ではシリカルツボを用いて溶鉄とルッボを平衡させた。したがつて、この範囲のバナジウムは脱酸に対して、シリコン、酸素の活量に影響するだけであると考えられる。

3.3 平衡実験

本実験では、Si=0.07~3%，V=0~1% の範囲で、1550°C と 1600°C で行なつた。1600°C における結果を Fig. 2 に示す。

ここで溶鉄中にバナジウムが共存する場合のシリコン脱酸は次式で表わされる。



$$K = \alpha_{\text{Si}} \cdot \alpha_{\text{O}}^2 \quad (\text{シリカ飽和であるから}, \alpha_{\text{SiO}_2} = 1)$$

$$\alpha_{\text{Si}} = f_{\text{Si}} \cdot [\% \text{Si}] = f_{\text{Si}}^{(\text{Si})} \cdot f_{\text{Si}}^{(0)} \cdot f_{\text{Si}}^{(V)} \cdot [\% \text{Si}]$$

$$\alpha_{\text{O}} = f_{\text{O}} \cdot [\% \text{O}] = f_{\text{O}}^{(\text{Si})} \cdot f_{\text{O}}^{(0)} \cdot f_{\text{O}}^{(V)} \cdot [\% \text{O}]$$

$$\log f_{\text{Si}} = e_{\text{Si}}^{(\text{Si})} [\% \text{Si}] + e_{\text{Si}}^{(0)} [\% \text{O}] + e_{\text{Si}}^{(V)} [\% \text{V}]$$

$$\log f_0 = e_0^{(Si)} [\% Si] + e_0^{(O)} [\% O] + e_0^{(V)} [\% V]$$

上記の相互作用係数のうち、現在まで求められているものは次の通りである。

$$e_0^{(Si)} = 3,910/T - 1.77 \quad \dots \text{的場らの実験結果}^2)$$

$$e_0^{(O)} = -0.137 \quad \dots \text{〃}$$

$$e_0^{(V)} = -0.240 \quad \dots \text{〃}$$

$$e_0^{(O)} = -1,750/T + 0.76 \quad \dots \text{坂尾らの実験結果}^3)$$

$$e_0^{(V)} = -2,500/T + 1.01 \quad \dots \text{成田の実験結果}^4)$$

これらの値を用いて 1600°C の $\log K$ を計算すると次式になる。

$$\begin{aligned} \log K &= \log a_{Si} \cdot a_0^2 = \log [\% Si] + 2 \log [\% O] \\ &+ \log f_{Si} + 2 \log f_0 = \log [\% Si] + 2 \log [\% O] \\ &+ 0.04[\% Si] - 0.59[\% O] + A[\% V] \quad \dots (1) \end{aligned}$$

$$\text{ただし } A = e_0^{(V)} + 2e_0^{(O)} = e_0^{(V)} - 0.64$$

ここで本実験の 1600°C の結果より, $\log [\% Si] + 2 \log [\% O] + 0.04[\% Si] - 0.59[\% O]$ の値を算出し、それと [%V] の関係を図示すると Fig. 3 となる。上式より Fig. 3 の直線の勾配は A を表わしている。これより $A = 0.49$ と求まり、 $e_0^{(V)}$ の値として成田の値⁴⁾ を使うと $e_0^{(V)} = 0.15$ となる。 $\log K$ の値としては Fig. 3 の [%V] = 0 (縦軸) より -4.66 が得られた。

1550°C においても同様の方法で結果を処理し、 $\log K = -5.12$, $A = -0.52$, $e_0^{(V)} = 0.20$ という結果を得た。

さらに $\log K$ の温度函数式を求めるときの通りである。

$$\log K = -31,720/T + 12.28$$

4. 結果の検討

4.1 A ((1)式の [%V] の係数) について

(1) A の値を求めるに際し、 $e_0^{(Si)}$, $e_0^{(O)}$, $e_0^{(Si)}$, $e_0^{(O)}$ に他報告値^{2,3)} を使用したことについて検討する。1600°C について考えると、(1)式の中で上記 4 相互作用係数に関係のある項は $0.04[\% Si] - 0.59[\% O]$ あり、この値は本実験範囲では [%O] が小さいので、ほとんど [%Si] のみにより変化する。たとえば [%Si] が 0.1 のときは 0, 0.5 のときは 0.02, 1 のときは 0.04, 2 のときは 0.08 である。

次に 1600°C の本実験値より [%V] が一定の場合の $\log K (= \log [\% Si][\% O]^2)$ の値と [%Si] の関係を図示すると Fig. 4 が得られる。Fig. 4 より $\log K'$ の値は [%Si] の増加とともにわずかに減少し、勾配はほぼ -0.04 とみなしうることがわかる。これは上で述べた $0.04[\% Si] - 0.59[\% O]$ の項で表わされる傾向と一致している。

(2) さらに別の値を使用した場合を考える。Fe-Si-O 系で、J. CHIPMAN, N. A. GOKCEN⁵⁾ および J. CHIPMAN, T. C. M. PILLAY⁶⁾ はシリコンと酸素の活量係数は互いに相殺しあうのでシリコン濃度が 2% までは $K = K'$ とみなしうると述べている。そこで $K = K'$ を使用して、1600°C における A の値を求めるとき、-0.48 が得られた。前節で得られた値が -0.49 であるので、ほぼ同じ値が得られることがわかる。

以上、本報で得た $A = -0.49$ の値は活量係数に他報告値^{2,3)} を使用して求めた。そして検討 (1) により、こ

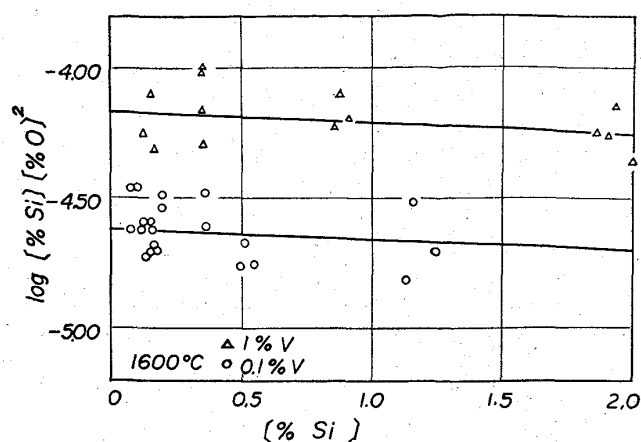


Fig. 4. Relation between $\log[\% Si][\% O]^2$ and [%Si].

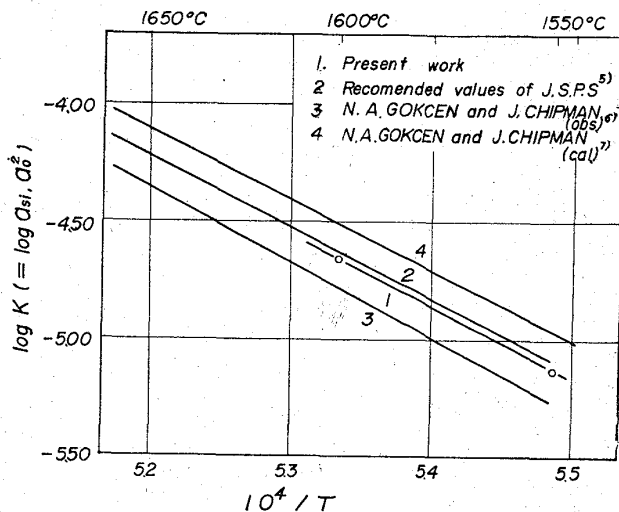


Fig. 5. Comparison of $\log K$ with other investigations.

これらの値を使用したことは適切であることがわかつたが、ここでたとえ使用する値を多少かえても A の値は -0.49 と大差ないことも判明した。

4.2 $e_0^{(V)}$ について

$e_0^{(V)}$ の値がわかれば、 A の値より $e_0^{(V)}$ が得られる。本報では $e_0^{(V)}$ の値として成田の値⁴⁾ が信頼しうると考え、これを用いて $e_0^{(V)}$ を求めた。この値は他に比較すべき報告はない。

4.3 $\log K$ について

本実験の $\log K$ と他報告の値とを比較すると、Fig. 5 に示した通りになる。本実験値は、学振推奨値⁵⁾ とよく一致したといえる。

5. 結 言

本実験では溶鉄中のシリコン脱酸におよぼすバナジウムの影響を調べ、次の結論を得た。

(1) [%Si] = 0.07~3%, [%V] = 0~1% の範囲では、一次脱酸生成物はほとんどシリカのみである。したがつてバナジウムの効果は溶鉄中のシリコンおよび酸素の活量におよぼす影響のみとみなしうる。

